

УДК 538.13

МАГНИТНАЯ СИММЕТРИЯ ЛИНЕЙНЫХ ОСОБЕННОСТЕЙ ДОМЕННОЙ СТРУКТУРЫ В ФЕРРОМАГНЕТИКАХ И ФЕРРИТАХ

В. Г. Барьяжтар, И. А. Леонов, В. Л. Соболев

Изучается геометрия особых линий доменной структуры ферромагнетиков и ферритов — блоховских линий, линий пересечения доменных границ и т. п. Дана симметричная классификация особых линий, являющихся пересечениями двух и трех стенок, и качественно охарактеризованы распределения локальной намагниченности в окрестности этих линий. В этом анализе учтено требование постоянства нормальной компоненты вектора намагниченности вдоль нормали к стенке.

Хорошо известно [1-3], что доменные структуры (ДС) в ферромагнетиках и ферритах могут иметь весьма сложную геометрию. По причинам, связанным с термодинамикой или кинетикой процесса магнитного упорядочения, доменные границы (ДГ) могут резко изгибаться (изламываться) под различными углами, пересекаться друг с другом и т. п. На характер таких особенностей системы ДГ оказывают влияние величины констант анизотропии, геометрия образца (его форма и ориентация кристаллографических осей относительно поверхности).

ДС часто можно представить как совокупность однородно намагниченных доменов, разделенных одномерными плоскими ДГ. В настоящей работе изучаются особые линии (ОЛ) такой структуры, т. е. линии, вдоль которых «стыкуются» две или более одномерные плоские ДГ. Примерами ОЛ являются: 1) блоховские линии; 2) угловые элементы (линии излома) зигзагообразных ДГ в ферромагнетиках с кубической анизотропией [2]; 3) концевые участки полосовых доменов; 4) линии «стыковки» трех или четырех одномерных участков ДГ.

Геометрия некоторых структур подобного типа изучалась в [4-6] (в работе [4] ОЛ называются линейными магнитными дефектами, так как ядра топологически нетривиальных линейных дефектов распределения намагниченности в ферромагнетиках с ДС рассматриваемого типа могут располагаться лишь вдоль ОЛ; в работах [5, 6] участки ДС, содержащие уединенную ОЛ, называются стеночными кластерами). В [4] рассматривалась также топологическая классификация распределений намагниченности в окрестности ОЛ.

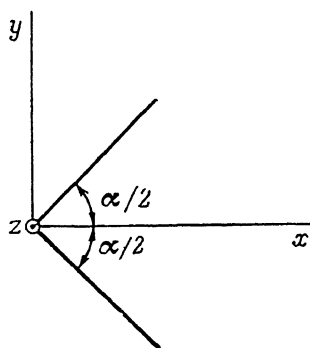
С симметричной точки зрения из обсуждаемых особенностей изучались только блоховские линии [7]. В настоящей работе мы, следуя методике, данной в [7, 8], проведем симметричную классификацию уединенных ОЛ в ферромагнетиках и ферритах. Особое внимание будет уделено ДС, формируемым регулярными ДГ, — так мы называем энергетически выгодные границы, положение которых в пространстве обеспечивает возможность постоянства нормальной компоненты намагниченности при переходе от одного из разделяемых данной ДГ доменов к другому; иными словами, нормаль к плоскости регулярной ДГ перпендикулярна разности векторов намагниченности в доменах.¹ Мы ограничимся рассмотрением

¹ Подчеркнем, что мы не ограничиваемся рассмотрением 180°-ных ДГ.

наиболее часто встречающихся конфигураций поля намагниченности, представляющих собой линии «стыковки» двух или трех плоских одномерных ДГ (соответствующие ОЛ называем двух- и трехстеночными). ОЛ с большим числом стенок наблюдаются в реальных образцах [3], однако могут возникнуть только случайно — в специфических конкретных условиях, так как произвольно малой деформацией (сдвигом или поворотом ДГ) такая конфигурация всегда может быть преобразована в совокупность двух- и трехстеночных ОЛ. Последние же устойчивы относительно таких деформаций поля намагниченности.

1. Симметричный анализ двухстеночных особых линий

Введем декартову систему координат (x, y, z) , выбрав начальную точку на данной ОЛ и направив ось z вдоль ОЛ, а ось x — вдоль биссектрисы меньшего из угловых секторов, занимаемых доменами (рис. 1; жирными линиями показаны проекции ДГ на плоскость рисунка; α — угол раствора упомянутого сектора).



1. Рассмотрим сначала случай $0 \leq \alpha < \pi$ (значение $\alpha=0$ описывает концевой участок полосового домена). Элементы симметрии ОЛ должны сохранять на месте домены. Такие элементы делятся на две группы: 1) элементы

$$1, 1', \bar{2}_z, \bar{2}'_z, \quad (1)$$

сохраняющие также плоскости ДГ; 2) элементы

$$2_x, 2'_x, \bar{2}_y, \bar{2}'_y, \quad (2)$$

меняющие местами плоскости ДГ (как и в работах [7, 8]; символ n_c означает поворот на угол $2\pi/n$ вокруг оси $c=x, y, z$; штрих отмечает операцию обращения времени, а горизонтальная черта — применение пространственной инверсии).

Анализ, вполне аналогичный проведенному в [7, 8], позволяет определить все возможные нетривиальные группы симметрии и соответствующие свойства компонент вектора намагниченности. Результаты этого анализа приведены в табл. 1, где символ A_c обозначает нечетность соответствующей функции вдоль оси $c=x, y, z$; S_c — четность; нуль — равенство соответствующей функции нулю; прочерк — отсутствие требований, налагаемых симметрией.

Применение полученной информации к анализу двухстеночных ОЛ, образуемых только регулярными ДГ, дает весьма обзримую классификацию, так как положения стенок в таких ДС тесно связаны с направлениями соответствующих разностей $\Delta M = M_1 - M_2$, где M_1, M_2 — векторы намагниченности в доменах, разделяемых данной одномерной ДГ.

Например, в случае группы G_1 вектор ΔM направлен вдоль оси x , поэтому для регулярной ОЛ угол α должен обязательно равняться нулю.

В случае группы G_2 вектор ΔM перпендикулярен оси x и возможны две ситуации. Если разность ΔM не параллельна оси z , то $\alpha = \pi$; если же $\Delta M \parallel z$, то ограничений на значение угла α нет (мы выше оговорили условие $\alpha < \pi$, но ничто не мешает нам рассматривать и случай $\alpha = \pi$ при условии, что элементы симметрии распределения намагниченности исчерпываются операциями (1), (2)).

Для группы G_3 вектор ΔM параллелен оси y , поэтому $\alpha = \pi$.

В случае группы G_4 разность ΔM перпендикулярна оси y и вновь имеем два варианта. Если вектор ΔM параллелен оси z , то ограничений на величину угла α условие регулярности не налагает. В противном случае должно быть $\alpha=0$.

В случае группы G_5 разность ΔM перпендикулярна оси z и возникают три возможности. Если вектор ΔM направлен вдоль оси x , то $\alpha=0$. Если вектор ΔM параллелен оси y , то $\alpha=\pi$. Наконец, если разность ΔM не параллельна ни одной из координатных осей, то не существует никаких значений угла α , при которых ОЛ удовлетворяет условию регулярности (по крайней мере одна из двух стенок обязательно не параллельна разности ΔM).

2. Перейдем теперь к случаю $\alpha=\pi$. Элементами симметрии таких ОЛ, кроме операций (1) и (2), могут быть преобразования $\bar{1}', \bar{2}_x, 2_y, 2_x, \bar{2}'_x$,

Таблица 1
Симметрия двухстеночных особых линий

Группа симметрии	Симметрия компонент намагниченности					
	во всей конфигурации			в доменах		
	M_x	M_y	M_z	M_x	M_y	M_z
$G_1 = \{1, 2_x\}$	S_y	A_y	A_y	—	0	0
$G_2 = \{1, \bar{2}'_x\}$	A_y	S_y	S_y	0	—	—
$G_3 = \{1, \bar{2}_y\}$	A_y	S_y	A_y	0	—	0
$G_4 = \{1, \bar{2}'_y\}$	S_y	A_y	S_y	—	0	—
$G_5 = \{1, \bar{2}'_x\}$	—	—	0	—	—	0
$G_6 = \{1, 2_x, \bar{2}'_z, \bar{2}'_y\}$	S_y	A_y	0	—	0	0
$G_7 = \{1, 2'_x, \bar{2}_y, \bar{2}'_z\}$	A_y	S_y	0	0	—	0

$\bar{2}'_y, \bar{2}'_z$. Соответствующие группы и свойства симметрии компонент намагниченности приведены в [7]. Нам остается лишь проверить, к чему приводит учет регулярности всех ДГ. Поскольку в рассматриваемой ситуации угол α фиксирован, это требование налагает дополнительные ограничения на величины компонент векторов намагниченности M_1 и M_2 в доменах и на возможные значения угла между этими векторами. Результаты соответствующего анализа приведены в табл. 2; прочерк означает отсутствие ограничений на взаимное расположение векторов M_1, M_2 сверх вытекающих из ограничений на величины компонент намагниченности.

Например, симметрия компонент намагниченности для группы, имеющей номер $k=5$, согласно работе [7], такова (функция M_x четна по x , а функция M_y и M_z — нечетны), что, во-первых, разность $\Delta M = M_1 - M_2$ перпендикулярна оси x , а этим автоматически обеспечивается регулярность обеих ДГ, и, во-вторых, очевидно, $M_1 = -M_2$.

В случае группы с номером $k=3$ симметрия компонент вектора M (функция M_y четна по x , а другие компоненты — нечетные по x функции) влечет перпендикулярность разности ΔM оси y . Но среди всех положений вектора ΔM , удовлетворяющих этому ограничению, требованию регулярности ДГ отвечают только направления вдоль оси z , а уже отсюда получаем противоположность направлений векторов M_1 и M_2 .

Группы, имеющие, согласно обозначениям работы [7], номера $k=2, 12, 14, 17, 19, 20, 21, 30$, не вошли в табл. 2, так как совокупность всех условий симметрии, накладываемых принадлежностью распределения намагниченности этим группам, вместе с условием регулярности может быть удовлетворена только для нулевых значений вектора M в доменах. Например, симметрия компонент намагниченности в случае $k=2$ такова

(функция M_x четна по y , а функции M_y и M_z нечетны), что вектор ΔM направлен вдоль оси x , а это несовместимо с условием регулярности.

Табл. 2 показывает, что нестасовьмидесятиградусные ДГ могут образовывать обобщенные блоховские линии лишь трех классов симметрии ($k=0, 8, 11$).

2. Симметричный анализ трехстеночных особых линий

Симметричная классификация трехстеночных ОЛ зависит от соотношений между углами α_i ($i=1, 2, 3$) секторов, занимаемых тремя доменами, «контактирующими» с ОЛ.

Таблица 2
Симметрия обобщенных блоховских линий в регулярных доменных структурах

Номер k группы симметрии, согласно [7]	Элементы симметрии	Ограничения на компоненты векторов M_1, M_2	Угол между векторами M_1 и M_2 , град
0	1	$M_{1x} = M_{2x}$	—
1	1, 2_x	$M_x = M_z = 0$	180
3	1, 2_y	$M_x = M_y = 0$	180
4	1, $\bar{2}_z$	$M_x = M_y = 0$	180
5	1, $\bar{2}_x$	$M_x = 0$	180
6	1, $\bar{2}_y$	$M_x = M_z = 0$	180
7	1, $2'_z$	$M_x = M_y = 0$	180
8	1, $2'_x$	$M_x = 0$	—
9	1, $2'_y$	$M_x = M_z = 0$	180
10	1, $\bar{1}'$	$M_x = 0$	180
11	1, $\bar{2}'_z$	$M_x = 0, M_{1x} = M_{2x}$	—
13	1, $\bar{2}'_y$	$M_x = M_y = 0$	180
15	1, $2_x, \bar{2}_x, \bar{2}_y$	$M_x = M_z = 0$	180
16	1, $\bar{1}', 2_x, \bar{2}'_z$	$M_x = M_z = 0$	180
18	1, $\bar{1}', 2_y, \bar{2}'_y$	$M_x = M_y = 0$	180
22	1, $2_x, 2'_x, 2'_y$	$M_x = M_z = 0$	180
23	1, $2_y, 2'_y, 2'_x$	$M_x = M_y = 0$	180
24	1, $2'_z, \bar{2}_x, \bar{2}'_y$	$M_x = M_y = 0$	180
25	1, $2'_x, \bar{2}_y, \bar{2}'_z$	$M_x = M_z = 0$	180
26	1, $2'_y, \bar{2}_x, \bar{2}'_z$	$M_x = M_z = 0$	180
27	1, $\bar{1}', \bar{2}_x, 2'_z$	$M_x = M_y = 0$	180
28	1, $\bar{1}', \bar{2}_x, 2'_x$	$M_x = 0$	180
29	1, $\bar{1}', \bar{2}_y, 2'_y$	$M_x = M_z = 0$	180
31	1, $\bar{1}', 2_x, \bar{2}_x, \bar{2}'_y, 2'_x, 2'_y, \bar{2}'_z$	$M_x = M_z = 0$	180

1. Если все три угла α_i различны, то легко видеть, что элементами симметрии такой конфигурации могут быть только преобразования $1, \bar{2}_z, \bar{2}'_z$, где z — ось, параллельная ОЛ. Из этих элементов можно составить лишь две нетривиальные группы, $\{1, \bar{2}_z\}$ и $\{1, \bar{2}'_z\}$. Но всякое непрерывное векторное поле, инвариантное относительно операции $\bar{2}_z$, является, очевидно, однородным. Поэтому только вторая из указанных групп может описывать симметрию трехстеночных ОЛ. При этом вектор намагниченности должен быть всюду перпендикулярен оси z . Следовательно, наложение условия регулярности всех ДГ делает невозможной и эту группу.

2. Пусть теперь два угла α_1 и α_2 между ДГ, формирующими трехстеночную ОЛ, равны между собой и не равны третьему углу α_3 . Выберем декартову систему координат (x, y, z) , направив ось z вдоль ОЛ и ось x

вдоль ДГ, разделяющей конгруэнтные домены (такие ДГ мы будем называть центральными, а остальные — боковыми; рис. 2).

В общем случае возможные группы симметрии таких ОЛ суть группы $G_1—G_7$ (табл. 1), причем указанные в последних трех столбцах свойства компонент намагниченности имеют место в домене, заключенном между боковыми стенками (его мы будем называть центральным, а два других домена — боковыми). Однако симметрия регулярных полей намагниченности в окрестности трехстеночной ОЛ рассматриваемого типа может описываться только группами $G_1—G_3, G_5, G_7$, так как группы G_4 и G_6 содержат элемент Σ'_y , что в соединении с условием регулярности приводит к совпадению векторов намагниченности в боковых доменах.

Условие регулярности всех ДГ накладывает, конечно, определенные ограничения на величины углов $\alpha_1 = \alpha_2$.

Так, в конфигурациях, имеющих группу симметрии G_1 , условие регулярности центральной ДГ приводит к тождеству $M_y \equiv 0$, а регулярность боковых ДГ добавляет требование кратности углов $\alpha_1 = \alpha_2$ числу π (другие значения этих углов противостоят условию постоянства модуля вектора \mathbf{M}).

В случае группы G_2 условие регулярности центральной ДГ автоматически выполнено, а условия регулярности боковых ДГ, как легко показать, эк-

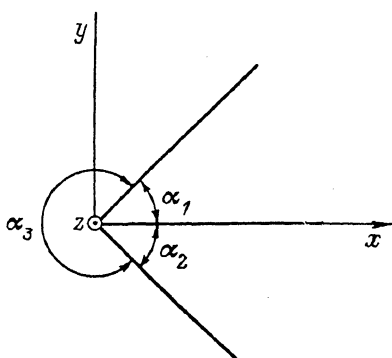


Рис. 2. Выбор системы координат в окрестности трехстеночной особой линии.

вивалентны между собой. Однако следует заметить, что углы $\alpha_1 = \alpha_2$ не должны равняться величине $\pi/2$, так как в противном случае условие регулярности боковых ДГ может быть выполнено, только если $M_x \equiv 0$, а это тождество влечет совпадение значений вектора \mathbf{M} в боковых доменах.

Аналогично в случае группы G_3 получаем условие $\alpha_1 = \alpha_2 \neq 0, \pi$. Принадлежность ОЛ группе симметрии G_3 влечет тождество $M_z \equiv 0$. Поэтому центральная ДГ может быть регулярна лишь при соблюдении равенств $M_{1y} = M_{2y}, M_{1x} = -M_{2x}$ (нижний числовой индекс обозначает номер домена, совпадающий с номером i соответствующего угла α_i). Пусть n_x, n_y — координаты вектора нормали ДГ между первым и третьим доменами. Тогда, как легко видеть, условия регулярности боковых ДГ составляют систему равенств

$$\begin{aligned} n_x(M_{1x} - M_{3x}) + n_y(M_{1y} - M_{3y}) &= 0, \\ n_x(M_{1x} + M_{3x}) + n_y(M_{1y} - M_{3y}) &= 0, \end{aligned}$$

откуда $n_x M_{3x} = 0$.

Таким образом, боковые ДГ регулярны, либо если $n_x = 0$, либо если $M_{3x} = 0$. Но выполнение первого из этих условий приводит к тому, что величины намагниченности в центральном домене и одном из боковых совпадают. Поэтому в центральном домене вектор \mathbf{M} направлен вдоль оси y . На величины углов $\alpha_1 = \alpha_2$ имеются ограничения — они не должны быть кратны $\pi/2$ (иначе намагниченность во всех трех доменах одинакова).

Те же ограничения на направления векторов намагниченности в доменах и величину углов $\alpha_1 = \alpha_2$ получаем для регулярных ОЛ, имеющих группу симметрии G_7 .

3. В случае $\alpha_1 = \alpha_2 = \alpha_3$ появляются новые возможные элементы симметрии 3_x и $3'_x$ — квадрат элемента 3_x (легко показать, что операции $3'_x$ и $(3'_x)'$ не могут быть элементами симметрии ненулевого векторного поля). Поэтому в дополнение к группам $G_1—G_7$ возникает новая серия групп G_n

($8 \leq n \leq 14$), порожденных, по определению, элементами группы G_{n-7} и операцией 3_z .

Очевидно, что если симметрия трехстеночной ОЛ описывается одной из групп G_8 — G_{14} , то вектор намагниченности в каждом из боковых доменов получается поворотом на 120° вокруг оси z в соответствующем направлении вектора намагниченности в центральном домене, который должен удовлетворять только ограничениям, указанным в табл. 1. При этом группам $G_8, G_{10}, G_{13}, G_{14}$ отвечает единственный с точностью до обращения времени вариант распределения намагниченности в доменах, который оказывается таким, что в случае групп G_{10} и G_{14} все ДГ регулярны, а в случае групп G_8 и G_{13} все ДГ нерегулярны. Каждая из групп G_9 и G_{11} может описывать симметрию полей намагниченности с бесконечным множеством вариантов направлений вектора M в доменах. Но для группы G_9 условие регулярности всегда выполняется, а для группы G_{11} — всегда нарушается. В случае группы G_{12} выполнение условия регулярности зависит, как нетрудно показать, от величины компоненты M_{3z} . Если $M_{3z} = 0$, то это условие удовлетворено; если $M_{3z} \neq 0$, то все ДГ нерегулярны.

4. Укажем в заключение на связь между симметрией ОЛ и симметрией ДГ, ее формирующих.

Пусть G — группа симметрии некоторой ОЛ при любом числе примыкающих к ней ДГ. Пусть H — подгруппа группы G , состоящая из элементов, переводящих некоторую из этих стенок в себя. Ясно, что группа симметрии этой ДГ [8] также содержит группу H в качестве подгруппы.

Л и т е р а т у р а

- [1] Ландау Л. Д., Лифшиц Е. М. Электродинамика сплошных сред. М., 1982. 620 с.
- [2] Хуберт А. Теория доменных стенок в упорядоченных средах. М., 1977. 306 с.
- [3] Dillon J. F. Magnetism / Ed. G. T. Rado, H. Suhl. N. Y., London, 1963. V. 3. P. 415—464.
- [4] Барьяхтар В. Г., Леонов И. А., Соболев В. Л., Суслин Л. А. // Препринт Ин-та теор. физ. АН УССР, № 86-86Р. Киев, 1986. 33 с.
- [5] van den Berg H. A. M., Dane M. F. // J. Magn. Magn. Mat. 1982. V. 27. N 1. P. 71—84.
- [6] van den Berg H. A. M. // J. Magn. Magn. Mat. 1982. V. 27. N 1. P. 85—97.
- [7] Барьяхтар В. Г., Кротенко Е. Б., Яблонский Д. А. // ЖЭТФ. 1986. Т. 91. № 3. С. 921—933.
- [8] Барьяхтар В. Г., Львов В. А., Яблонский Д. А. // ЖЭТФ. 1984. Т. 87. № 5. С. 1863—1876.

Донецкий
физико-технический институт
АН УССР
Донецк

Поступило в Редакцию
22 июля 1988 г.